



کاربرد کانی‌های سنگین در تفسیر خاستگاه رسوب‌های آواری فلات قاره‌ی دریای عمان - ناحیه چابهار تا جاسک

صدیقه امجدی^۱، محمدحسین محمودی قرائی^{۱*}، رضا موسوی حرمی^۱، اسدالله محبوبی^۱، حمید علیزاده کتک لاهیجانی^۲

۱- گروه زمین‌شناسی، دانشکده علوم، دانشگاه فردوسی مشهد

۲- مرکز ملی اقیانوس‌شناسی ایران

(دریافت مقاله: ۹۰/۱/۱۵، نسخه نهایی: ۹۰/۵/۲)

چکیده: هدف از این بررسی، شناسایی کانی‌های سنگین در رسوب‌های دریایی فلات قاره دریای عمان و بکارگیری آن‌ها در تفسیر خاستگاه آن‌ها است. هفت نمونه از یک مغزه از کف دریا و سه نمونه از رسوب‌های پهنه‌های جزر و مدی برای این کار انتخاب شدند. برای جداسازی کانی‌های سنگین از محلول بروموفورم و نیز شناسایی آن‌ها از میکروسکوپ بینوکولار و آنالیز SEM مجهز به استفاده شد. مهم‌ترین کانی‌های سنگین نمونه‌های مورد بررسی عبارتند از زیرکن، آپاتیت، هورنبلند، گارنت، تورمالین، روتیل، ایلمینیت و باریت. فراوانی بالای زیرکن، آپاتیت و تورمالین مؤید وجود سنگ‌های آذربین فلسيک در خاستگاه است. با توجه به سنگ‌های آتشفشانی مناطق فرورانش می‌توان سری تولیتی کوارتزدار در کمان‌های جوان و حوضه‌های پشت کمانی را به عنوان خاستگاه اصلی این رسوب‌ها در نظر گرفت. حضور هورنبلند در نمونه‌ها نیز نشان دهنده‌ی بالاً‌مدگی زمین‌ساختی و تشکیل افيولیت در منطقه است.

واژه‌های کلیدی: کانی‌های سنگین؛ سنگ خاستگاه؛ هورنبلند؛ زیرکن؛ آپاتیت؛ تورمالین.

منطقه‌ی مورد بررسی در جنوب شرقی ایران و در منتهی‌الیه جنوب مکران ساحلی واقع شده که بخشی از گستره‌ی شهرستان چابهار تا جاسک را در بر می‌گیرد. منطقه‌ی مورد بررسی دارای آب و هوای نیمه بیابانی، گرم و خشک و نیز رودخانه‌های فصلی است. منطقه چابهار - جاسک از جمله مناطقی از ایران است که به دلیل شرایط خاص اقلیمی و زمین‌شناسی نظیر نوسان‌های سطح آب دریا طی زمان‌های مختلف، تاثیر فرآیندهای زمین‌ساختی و تشدید فرسایش در نواحی بالاً‌مدگی (uplift) ناشی از فرورانش، ساختار و پدیده‌های منحصر به فردی دارد و از رسوب‌های آواری تشکیل شده است که خاستگاه این رسوب‌ها می‌تواند سنگ‌های مختلف موجود در منطقه باشد که پس از فرسایش از طریق رودخانه‌های فصلی همچون وشنام و ماجرو به مناطق ساحلی و دریایی عمان حمل شده‌اند [۴].

مقدمه

کانی‌های سنگین در رسوب‌های آواری، ذرات ریز و با چگالی بالائی هستند که چگالی بیشتری نسبت به کانی‌های دیگر دارند. اگر چه تنوع و فراوانی این کانی‌ها زیاد است ولی معمولاً تعداد معددی از آن‌ها نظیر کیانیت، گارنت، تورمالین، ایلمینیت، زیرکن و آپاتیت در نهشته‌های رسوبی مشاهده می‌شوند [۱]. یکی از کاربردهای کانی‌های سنگین بکارگیری آن‌ها به عنوان راهنمای تعیین خاستگاه رسوب‌ها است [۲]. تشکیل کانی‌های سنگین در یک منطقه به عوامل مختلفی نظیر تنوع کانی‌ها در سنگ، خاستگاه ریخت‌شناسی محیط ته-نشست و چگونگی حمل و نقل و تهنشینی آن‌ها در محیط رسوبی بستگی دارد [۱]. همچنین شرایط هیدرولیکی وابسته به جورش‌گی ذرات و چگالی کانی‌ها می‌تواند در تمرکز کانی‌های سنگین نقش داشته باشد [۳].

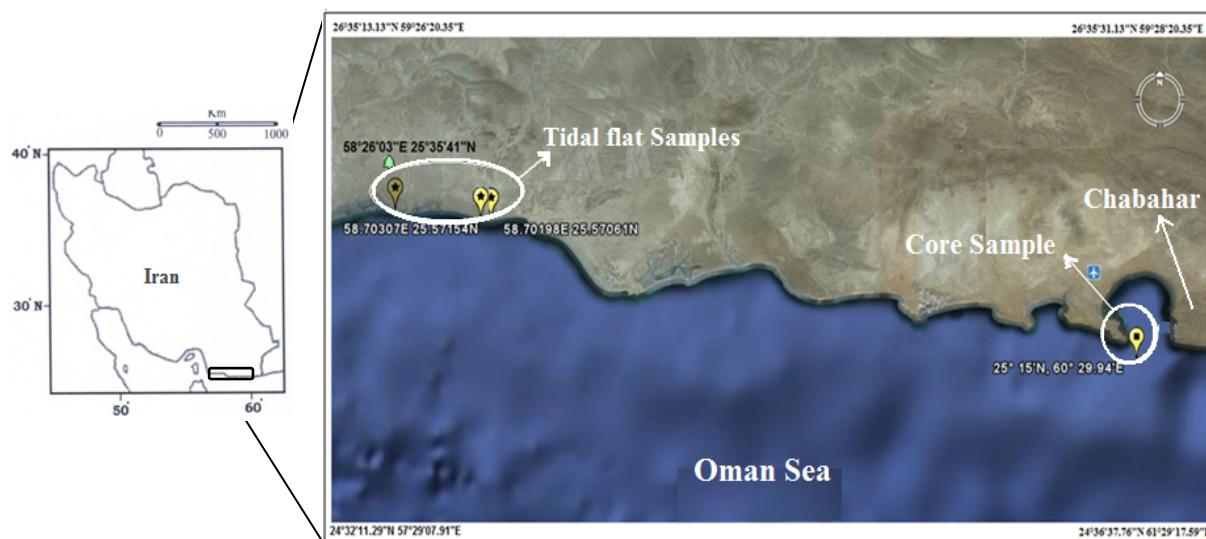
میکروسکوپ دوچشمی، برای شناسایی اولیه کانی‌های سنگین (LEO 1450 VP SEM) و از میکروسکوپ الکترونی (SEM مدل EDS) مجهز به آزمایشگاه مرکزی دانشگاه فردوسی برای آنالیز دقیق این کانی‌ها استفاده شده است.

بحث و بررسی

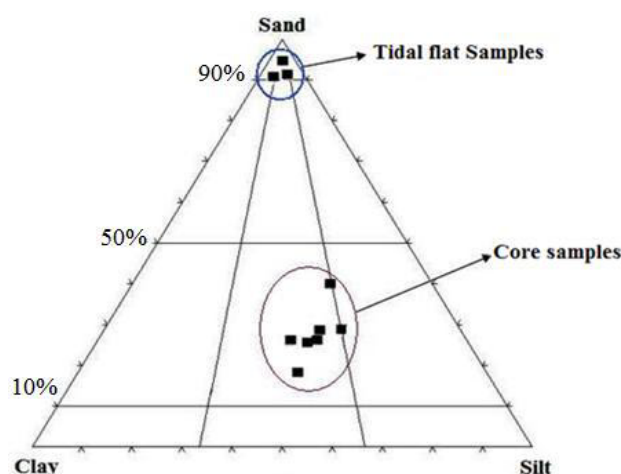
آنالیز دانه‌سنگی نمونه‌های مغزه و رسوب‌های روی پهنه کشندی در شکل ۲ نشان داده شده است. چنانکه در نمودار مثلثی مشاهده می‌شود رسوب‌های پهنه‌ی کشندی بیشتر ماسه‌ای و از اندازه بزرگتری نسبت به نمونه‌های مغزه برخوردارند. کانی‌های سنگین موجود در این نمونه‌ها شامل هورنبلند، مگنتیت، آپاتیت، گارنت، تورمالین و باریت است (شکل ۳). فراوانی کانی‌های سنگین در نمونه‌های مغزه شامل هورنبلند ۱۶–۱۳٪، زیرکن ۱۱–۱۳٪، گارنت در حدود ۱۲٪، تورمالین ۲۶٪، آپاتیت ۱۶–۱۸٪، مگنتیت و ایلمینیت ۱۱–۱۳٪، روتیل ۳–۵٪ و باریت ۴–۲٪ است (جدول ۱). در نمونه‌های روی پهنه کشندی کانی‌های سنگین شامل زیرکن ۱۱–۱۴٪، تورمالین ۲۲–۲۴٪، گارنت ۱۷–۲۰٪، هورنبلند ۱۳٪ و آپاتیت ۱۴–۱۶٪ با بیشترین فراوانی بوده و ایلمینیت و مگنتیت ۹–۱۱٪، روتیل ۴–۷٪ و باریت ۲–۳٪ فراوانی کمتری دارند (جدول ۱). از نظر پایداری این کانی‌ها جزء کانی‌های نیمه پایدار و بسیار پایدار محسوب می‌شوند [۲].

روش بررسی

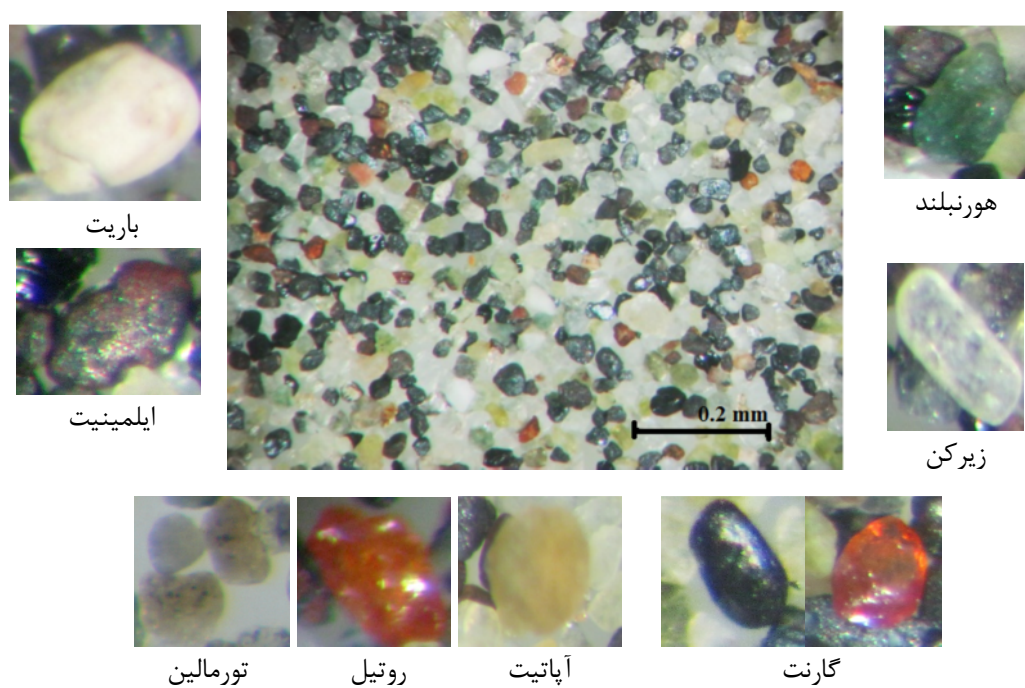
نمونه‌برداری به دو صورت انجام شد. روش اول، نمونه‌برداری از رسوب‌های دریائی به شیوه‌ی مغزه‌گیر گرانشی (core) است که توسط مرکز ملی اقیانوس‌شناسی تهران انجام شده است. نمونه‌های مورد بررسی از مغزه‌ای با بیشترین ذرات ماسه در گستره‌ی خلیج چابهار، با عرض جغرافیایی 25° شمالی و طول جغرافیایی $58^{\circ} 29' 5''$ برداشت شده‌اند (شکل ۱). فاصله‌ی این مغزه تا ساحل شمالی ۴۴۶۰ متر بوده و طول مغزه ۳۳ سانتی‌متر است که از عمق ۲۰ متری نسبت به سطح دریای عمان گرفته شده است. از این مغزه، ۷ نمونه با فاصله‌های ۴ سانتی‌متر برای بررسی کانی‌های سنگین انتخاب شده‌اند. روش دوم، نمونه‌برداری از رسوب‌های ساحلی و پهنه بالای کشندی دریای عمان است. تعداد ۳ نمونه به مختصات $25^{\circ} 42' 58''$ درجه‌ی شمالی و $58^{\circ} 42' 6''$ درجه‌ی شرقی (Gheshmi-T01)، $25^{\circ} 42' 34''$ درجه‌ی شمالی و $58^{\circ} 42' 1''$ درجه‌ی شرقی (Gheshmi-T03) و نیز $25^{\circ} 42' 35''$ درجه‌ی شمالی و $58^{\circ} 42' 40''$ درجه‌ی شرقی (KhGB-03) برداشت شده‌اند (شکل ۱). دلیل انتخاب این نمونه‌ها فراوانی بالای ذرات ماسه‌ای در آن‌هاست. دانه‌سنگی نمونه‌ها به روش لیزرنی با استفاده از Laser particle sizer در آزمایشگاه مرکز ملی اقیانوس‌شناسی تهران انجام شد. ذرات ماسه براساس چگالی و با استفاده از محلول بروموفرم (CHBr_3) تفکیک شدند. از



شکل ۱ محل برداشت نمونه‌ها از فلات قاره دریای عمان، نمونه‌های ساحلی Gheshmi-T03، Gheshmi-T01 و KhGB-03 و مغزه در گستره‌ی خلیج چابهار.



شکل ۲ درصد فراوانی ماسه، سیلت و رس در مغزه و نمونه‌های رسوبات ساحلی در فلات قاره دریای عمان (منطقه چابهار تا جاسک) براساس دیاگرام مثلثی فولک (۱۹۷۴) [۵].

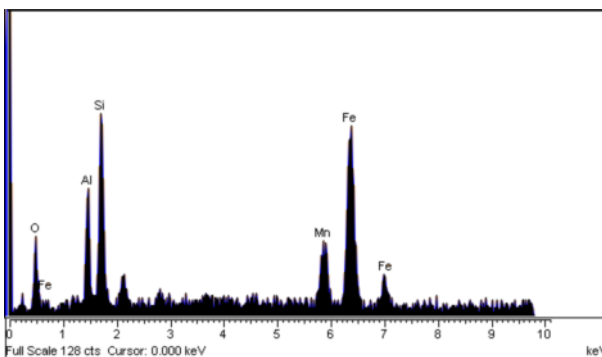
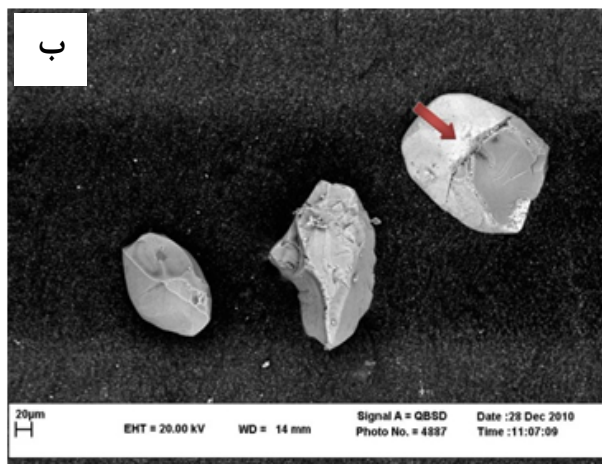


شکل ۳ انواع کانی‌های سنگین در نمونه‌های رسوبات ساحلی و فلات قاره‌ی دریای عمان (چابهار- جاسک).

جدول ۱ درصد فراوانی انواع کانی‌های سنگین در نمونه‌های مورد بررسی.

درصد کلی	باریت	روتیل	ایلمینیت و مگنتیت	آپاتیت	تورمالین	هورنبلند	گارنت	زیرکن	شماره نمونه
۱۰۰	۴	۵	۱۱	۱۶	۲۶	۱۳	۱۲	۱۳	مغزه
۱۰۰	۳	۳	۱۳	۱۷	۲۶	۱۶	۱۱	۱۱	
۱۰۰	۳	۳	۱۳	۱۸	۲۵	۱۵	۱۱	۱۲	
۱۰۰	۳	۴	۱۲	۱۶	۲۶	۱۴	۱۲	۱۳	
۱۰۰	۲	۳	۱۴	۱۸	۲۵	۱۵	۱۲	۱۱	
۱۰۰	۳	۳	۱۳	۱۷	۲۶	۱۴	۱۲	۱۲	
۱۰۰	۴	۵	۱۱	۱۶	۲۶	۱۳	۱۲	۱۳	
۱۰۰	۲	۷	۱۰	۱۴	۲۴	۱۴	۱۸	۱۱	KhGB-03
۱۰۰	۳	۴	۱۱	۱۵	۲۲	۱۳	۱۷	۱۴	Gheshmi-T01
۱۰۰	۳	۵	۹	۱۶	۲۲	۱۳	۲۰	۱۲	Gheshmi-T03

تفکیک کردند: گارنت نوع A با مقادیر بالای Mg و مقدار کم Ca از سنگ‌های دگرگونی با درجهی بالا [۹،۱۰] و در فازهای پیدا بلور از سنگ‌های آذرین اسیدی تا حدواسط ریشه گرفته Ca است [۱۱،۱۰]. در گارنت نوع B میزان Mg کم و مقدار کم دگرگونی ریشه می‌گیرد. گارنت نوع C با زیاد و Mg بسیار زیاد از سنگ‌های مافیک و اولترامافیک با درجهی دگرگونی بالا ریشه گرفته‌اند [۲]. در گارنت نوع D میزان Mg خیلی کم و بسیار زیاد است و از سنگ‌های متابازی با درجهی دگرگونی خیلی پایین، یا از سنگ‌های فرادگرگونی گرانولیت، کلسی‌سیلیکات و اسکارن ریشه می‌گیرد. گارنت‌های ناحیه مورد بررسی با توجه به تصاویر SEM و آنالیز EDS (شکل ۴) و براساس رده‌بندی مورتون و همکاران [۲۰۰۴] از نوع A است (شکل ۵) که می‌تواند حاصل از سنگ‌های با درجهی دگرگونی بالا (رخساره‌ی گرانولیت) و یا از سنگ‌های آذرین اسیدی تا حدواسط باشد [۲].



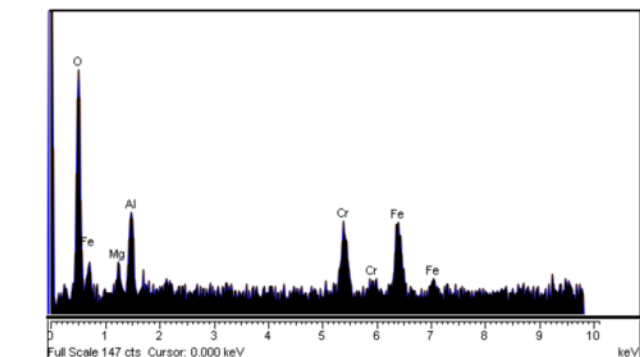
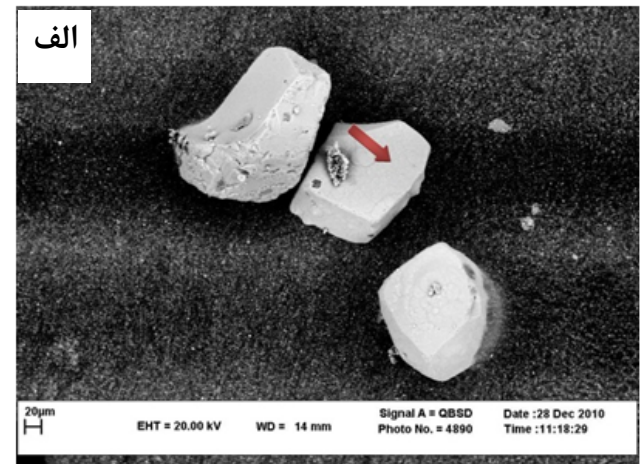
کانی‌شناسی کانی‌های سنگین
مقایسه‌ی کانی‌های سنگین در نمونه‌های مغزه و نمونه‌های روی پهنه‌ی کشنده نشان می‌دهد که تنوع کانی‌شناسی همه نمونه‌ها کم و بیش یکسان بوده و مشابه یکدیگرند. چنین شرایطی معمولاً نشان دهنده خاستگاه نزدیک به ساحل آنهاست [۶] نتایج بررسی این نمونه‌ها با SEM و آنالیز EDS منجر به شناسایی کانی‌های زیر شده است:

گارنت

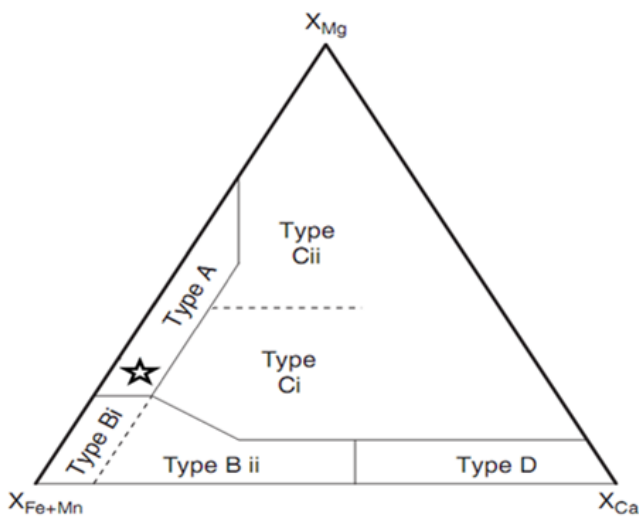
ژئوشیمی کانی گارنت روشنی دقیق برای تعیین خاستگاه ته نشسته‌است. فرمول کلی گارنت $(\text{Al}, \text{Cr}, \text{Ti}, \text{Fe}^{3+})_{x} \text{Si}_3\text{O}_{12}$ است و چندین جانشینی عنصری می‌تواند در شبکه وجود داشته باشد [۸،۷] آنالیز EDS گارنت در نمونه‌های مورد بررسی تنوع عناصر موجود در شبکه‌ی گارنت را نشان می‌دهد (شکل ۴ الف و ب).

مورتون و همکاران [۲] از طریق آنالیز، چهار نوع گارنت

D, C, B, A را براساس ترکیب شیمیایی و خاستگاه از یکدیگر



شکل ۴ تصاویر SEM و آنالیز EDS گارنت در رسبوهای ساحلی و فلات قاره دریایی عمان ناحیه چابهار تا جاسک.



شکل ۵ نمودار مثلثی رده‌بندی گارنت بر اساس $\text{Fe} + \text{Mn} - \text{Mg} - \text{Ca}$ با علامت ستاره نشان داده شده است.

پنوماتولیتیک نیز دیده می‌شود که در این صورت حضور Si شبکه‌ی کانی مگنتیت قابل تشخیص است [۱۷]. آنالیز EDS نمونه‌های مورد بررسی حضور Si در کانی مگنتیت را نشان می‌دهد (شکل ۶ ب). با توجه به تصویر SEM کانی مگنتیت، حفره‌هایی در سطح کانی دیده می‌شود (شکل ۶ ب) که می‌تواند در نتیجه‌ی فرایندهای فرسایش و انحلال ایجاد شده باشد [۱۷].

زیرکن

زیرکن (ZrSiO_4) در سنگ‌های آذرین و دگرگونی تشکیل می‌شود. فراوانی این کانی در سنگ‌های آذرین سیلیسی از قبیل گرانیت‌هایها بیشتر است. به عبارتی این کانی در سنگ‌های پلوتونیک اسیدی سدیم‌دار فراوان تر بوده، بنابراین در گرانیت‌ها و سینیت‌ها و احیاناً در دیوریت‌ها قابل مشاهده است [۱۷]. مقدار آن در بعضی سینیت‌ها ممکن است بقدری زیاد باشد که آنرا سینیت زیرکن‌دار نامند. در برخی موارد این کانی به صورت بلورهای درشت در پگماتیت‌های گرانیتی و مخصوصاً در پگماتیت سینیت‌های نفلین‌دار دیده می‌شود. این کانی در سنگ‌های دگرگونی از قبیل گنیس و میکاشیست نیز مشاهده می‌شود که در این صورت در شبکه‌ی بلوری زیرکن علاوه بر عناصر اصلی (Si , Zr), عناصر دیگری از قبیل Ta , Nb و Sn به صورت ناخالصی وجود دارند [۱۸]. از طرفی زیرکن کانی عمومی و فرعی تعداد زیادی از سنگ‌های رسوبی تخریبی است

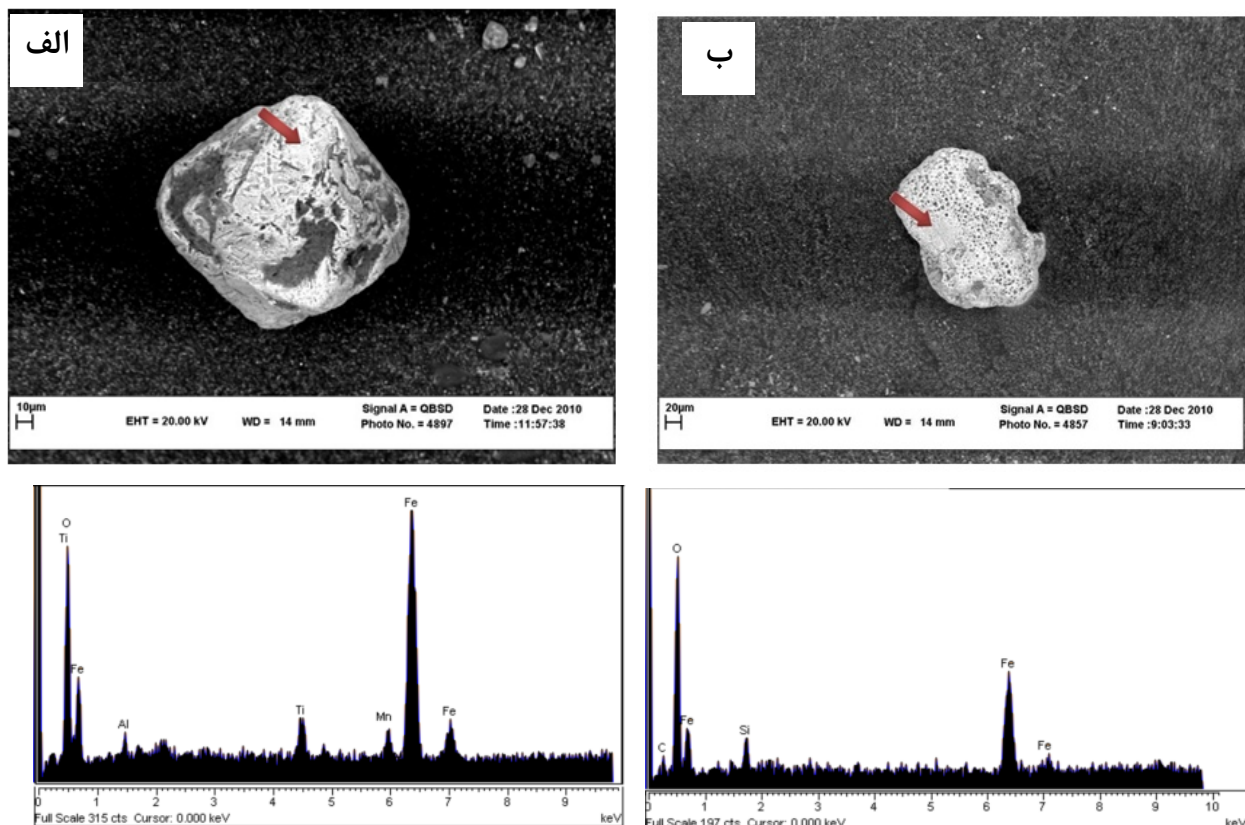
ایلمینیت و مگنتیت

ایلمینیت (FeTiO_3) و مگنتیت (Fe_3O_4) از مهم‌ترین کانی‌های اقتصادی هستند که در بررسی‌های تعیین خاستگاه می‌توان از آنها استفاده کرد [۱۳, ۱۲]. به عقیده باسو و مولینارولی (۱۹۹۱)، کانی ایلمینیت با ۶۰ تا ۵۰ درصد TiO_2 از سنگ‌های دگرگونی و با حدود ۴۰ تا ۵۰ درصد TiO_2 از سنگ‌های آذرین ریشه می‌گیرد [۱۴]. بنابراین ایلمینیت موجود در سنگ‌های دگرگونی از نظر مقدار TiO_2 غنی‌تر از سنگ‌های آذرین است [۱۵]. ایلمینیت حاصل از توده‌های گرانیتی غنی از Mn بوده ولی در شیست‌ها مقدار Mn کم است [۱۳, ۱۲]. آنالیز EDS نمونه‌های مورد بررسی، وجود Mn در کانی ایلمینیت را نشان می‌دهد (شکل ۶ الف). شرودر و همکاران (۲۰۰۲) نشان دادند که کانی ایلمینیت در شیست به صورت بی‌شکل و در سنگ‌های گرانیتی به صورت شکل‌دار است [۱۶]. تصاویر SEM کانی ایلمینیت در نمونه‌های مورد بررسی نشان‌دهنده شکل‌دار بودن این کانی است (شکل ۶ الف)، بنابراین شکل‌دار بودن کانی ایلمینیت و حضور Mn در شبکه‌ی ساختاری آن می‌تواند نشان دهنده‌ی ریشه‌گیری این کانی از سنگ‌های آذرین فلزیک و حد واسط باشد.

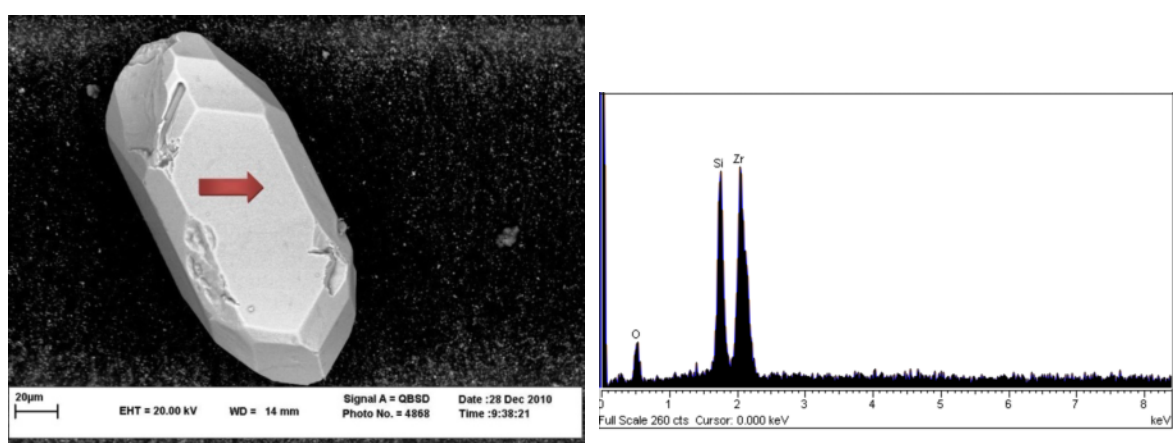
مگنتیت یکی از کانی‌های فرعی سنگ‌های آذرین است و نیز در اثر دگرگون شدن سنگ‌های آهکی و سنگ‌های حاوی لیمونیت و سیدریت به وجود می‌آید. این کانی در شیست‌ها، به ویژه در کلریت شیست، و گاهی در رگه‌های گرمابی و

با سطوح بلوری مشخص است. در نمونه‌های مورد بررسی به دلیل ریخت‌شناسی مشخص، وجود عناصر اصلی (Zr) و نبود عناصر دیگر در شبکه‌ی این کانی، می‌توان نتیجه گرفت که سنگ‌های با ترکیب متمایل به اسیدی خاستگاه احتمالی زیرکن هستند [۱۹، ۲۰].

که معمولاً می‌تواند در بیش از یک دوره‌ی رسوب‌گذاری پایدار بماند. زیرکن دارای عناصر کمیاب مختلفی است که بازتاب دهنده‌ی ترکیب سنگ خاستگاه هستند [۱۹، ۲۰]. در شکل ۷ تصویر SEM و آنالیز EDS زیرکن در نمونه‌های مورد بررسی نشان داده شده‌اند. کانی زیرکن در این نمونه‌ها به شکل منشور



شکل ۶ تصاویر SEM و آنالیز EDS ایلمینیت (الف) و مگنتیت (ب) در رسوب‌های ساحلی و فلات قاره دریای عمان ناحیه‌ی چابهار تا جاسک.



شکل ۷ تصویر SEM و آنالیز EDS زیرکن در رسوب‌های ساحلی و فلات قاره دریای عمان ناحیه‌ی چابهار تا جاسک.

منشوری با لبه‌های گردشده دیده می‌شود (شکل ۳). با توجه به فعال بودن زمین‌ساختی و برافرازی (uplift) ناشی از فروزانش در منطقه مکران، چرخه‌های رسوب‌گذاری متعددی را می‌توان در منطقه انتظار داشت که باعث فرسایش بیشتر و گردشگی در کانی‌های سنگین از جمله آپاتیت می‌شود.

آمفیبیول

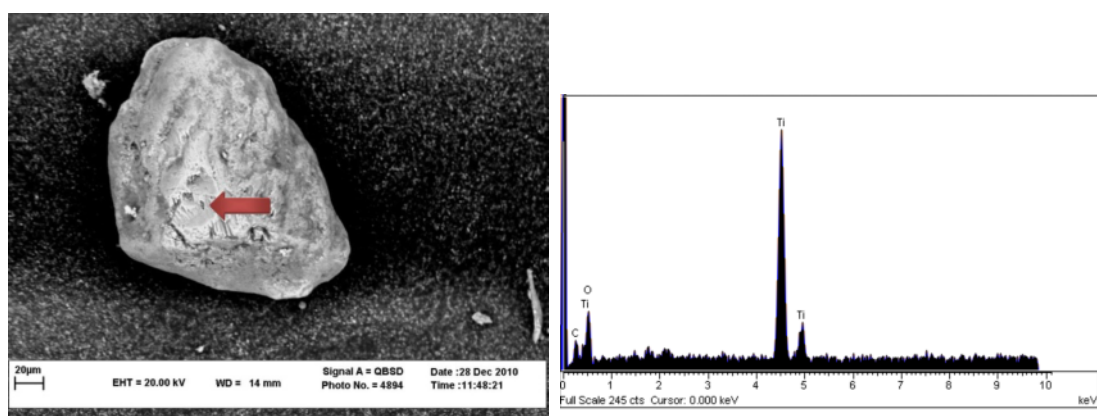
آمفیبیول‌ها گروه بزرگی از کانی‌ها را تشکیل می‌دهند که در انواع سنگ‌های آذرین و دگرگونی وجود دارند. در ترکیب آنها علاوه بر بنیان SiO_4 عناصری از قبیل منیزیم، آهن و کلسیم شرکت می‌کنند که ممکن است با سیلیکات‌های مضاعف سدیم، آلومینیم و آهن فریک همراه باشد. از نظر ترکیب شیمیایی آمفیبیول‌ها را می‌توان به سه دسته‌ی آهن و منیزیدار (آتفیلیت-کومنگتونیت)، منیزیدار و کلسیم‌دار (آمفیبیول‌های آتفیلیت-کومنگتونیت)، منیزیدار تقسیم کرد [۲۵]. در نمونه‌های مورد بررسی دو گروه آمفیبیول شامل کومنگتونیت (شکل ۱۰ الف) و آمفیبیول کلسیم‌دار (شکل ۱۰ ب) دیده می‌شوند. در سنگ‌های دگرگونی، این کانی‌ها گسترش فراوانی داشته و در شرایط دما و فشار متفاوت وجود دارند. به همین جهت آن‌ها را از رخساره شیسته‌های سبز (دگرگونی ضعیف) تا رخساره‌ی گرانولیت (دگرگونی بسیار قوی) می‌توان دید. بلورهای کانی آمفیبیول، در شرایط فیزیکی و شیمیایی مختلف همراه با شرایط دما و فشار، جانشینی‌های مختلف عناصر را نشان می‌دهند [۲۵]. بررسی آمفیبیول‌ها سری‌های فروآکتینوت-ترمولیت، و هورنبلنده با رنگ‌های مختلف، از قبیل اکسی - هورنبلنده سبز-قهوه‌ای، آبی - سبز، قهوه‌ای و ساختار رشتهدی را نشان می‌دهند (شکل ۳). ترمولیت و اکتینوت اصولاً کانی‌های دگرگونی هستند. در صورتیکه شدت دگرگونی بالا رود، مقدار آلومینیم اکتینوت زیاد شده و این کانی بوسیله‌ی هورنبلنده جانشین می‌شود. این نوع آمفیبیول غالباً در سنگ‌های دگرگونی (افیولیت‌ها) دیده می‌شود که معرف شرایط فشار بالا/دمای کم و محیط‌های فروزانشی (سابداکشن) است. نوع دوم آمفیبیول در نمونه‌های مورد بررسی و منگتونیت $(\text{MgFe}^{2+})_7(\text{Si}_8\text{O}_{22})(\text{OH})_2$ است بلورهای این کانی به صورت انباسته‌ی رشتهدی یا سوزنی بوده (شکل ۱۰ الف)، و این کانی در سنگ‌های دگرگونی همراه آمفیبیول هورنبلنده دیده می‌شود.

روتیل

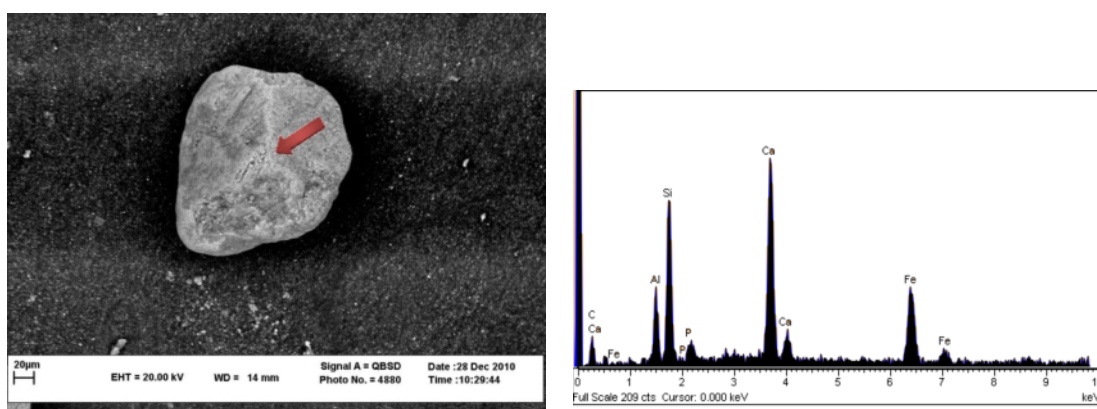
روتیل (TiO_2) یک کانی بسیار پایدار است که در همه‌ی رسوب‌های آواری قدیمی و این زمان وجود دارد. این کانی در بارازنرهای ماقماتیکی سنگ‌های آذرین و دگرگونی پراکنده است. روتیل به صورت کانی فرعی در گرانیت‌ها و پگماتیت‌های گرانیتی یافت شده و در رگه‌های کوارتزی از خاستگاه پنوماتولیتیک تا گرمابی به وجود می‌آید [۱۷]. این کانی همچنین در اثر دگرگونی سنگ‌های رسی و یا سنگ‌های آهکی و دولومیتی رس‌دار تشکیل می‌شود. از طرفی در میکاشیست، گنیس و دیگر سنگ‌های دگرگونی از قبیل اکلوژیت، آمفیبولیت و گرانولیت نیز وجود دارند [۲۱]. به دلیل پایداری بالای روتیل می‌توان اطلاعات مهمی به ویژه در مورد رشد رسوب‌ها از روی این کانی به دست آورد [۲۲]. بافت سطحی کانی روتیل در نمونه‌های مورد بررسی حالت مدور دارد (شکل ۸) که احتمالاً نشان دهنده‌ی فرایند جابه جایی در دوره‌های رسوب‌گذاری دوباره است. در ترکیب روتیل ۶۰ درصد تیتانیوم و ۴۰ درصد اکسیژن وجود دارد و ممکن است مقداری آهن یا نیوبیوم (Nb)، تالیم (Ta)، وانادیوم (V) و کروم (Cr) جایگزین تیتانیوم شود. حضور Cr در ساختار روتیل نشان دهنده‌ی سنگ خاستگاه مافیک و نبود این عنصر در روتیل نشان دهنده‌ی سنگ خاستگاه فلزیک است [۱۷]. آنالیز EDS کانی روتیل در نمونه‌های مورد بررسی با نبود Cr همراه بوده (شکل ۸)، بنابراین نشان دهنده سنگ‌های با خاستگاه فلزیک است.

آپاتیت

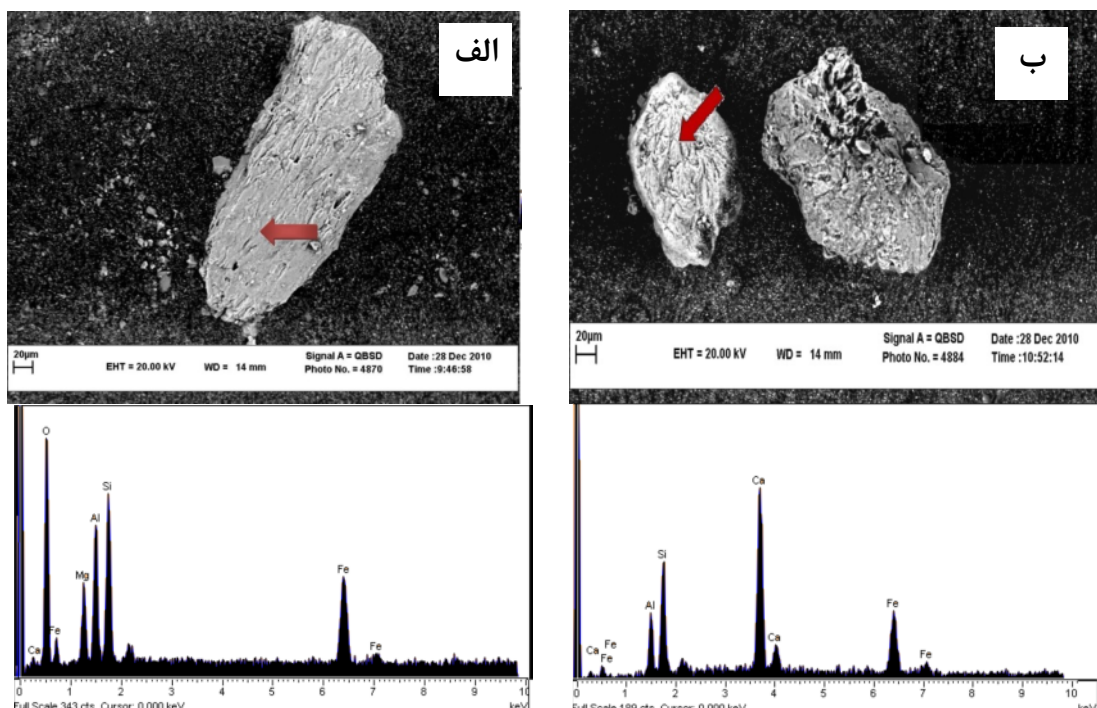
آپاتیت $\text{Ca}_5(\text{PO}_4)_3(\text{OH},\text{F},\text{Cl})$ یک کانی مهم در تمام سنگ‌های آذرین و بعضی سنگ‌های دگرگونی است و نشان دهنده‌ی خاستگاه خاصی نیست [۲۳، ۲۴]. آنالیز EDS آپاتیت در رسوب‌های ساحلی و فلات قاره دریای عمان عناصر مختلفی را در ترکیب آن نشان می‌دهد (شکل ۹). کانی آپاتیت حاصل از رگه‌های پگماتیتی و کوارتزی و رگه‌های گرمابی معمولاً به رنگ زرد مایل به سبز دیده می‌شود. از طرفی توزیع آپاتیت در ماسه سنگ‌ها معمولاً در اثر شدت فرسایش در طول چرخه رسوبی کنترل می‌شود [۷]. در نمونه‌های مورد بررسی کانی آپاتیت در زیر میکروسکوپ دوچشمی با رنگ‌های مختلف (بیشتر به رنگ زرد مایل به سبز و زرد مایل به نارنجی) و به شکل‌های



شکل ۸ تصویر SEM و آنالیز EDS روتیل در رسوب‌های ساحلی و فلات قاره دریای عمان ناحیه‌ی چابهار تا جاسک.



شکل ۹ تصویر SEM و آنالیز EDS آپاتیت در رسوب‌های ساحلی و فلات قاره دریای عمان ناحیه‌ی چابهار تا جاسک.



شکل ۱۰ تصاویر SEM و آنالیز EDS آمفیبول، الف) کومنگتونیت و ب) هورنبلند، رسوب‌های ساحلی و فلات قاره دریای عمان ناحیه‌ی چابهار تا جاسک.

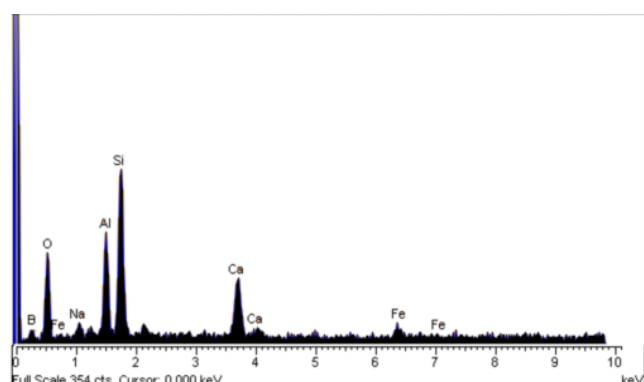
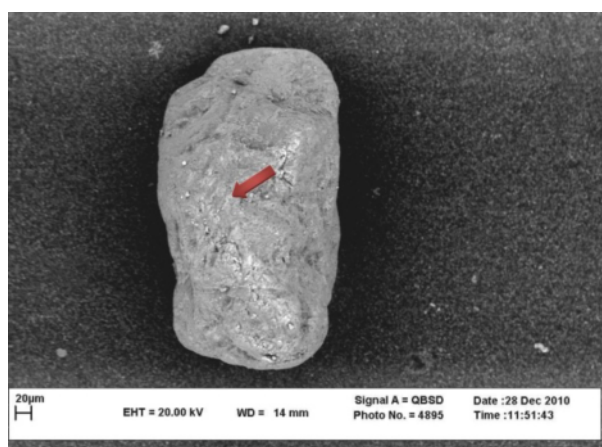
پرستون و همکاران (۲۰۰۲) ناحیه‌ی ۱ را نشان داده و به خاستگاه گرانیت‌وئیدها، پگماتیتها و اپلیت‌های غنی از Li دلالت می‌کند [۲۸] (شکل ۱۲). کرینین (۱۹۴۶) نیز پنج خاستگاه گرانیتی، پگماتیتی، دگرگونی تزریقی، درجاتی رسوبی و سنگ‌های رسوبی تورمالین داری را که دوباره تحت تاثیر تخریب قرار گرفته‌اند معرفی کرده‌اند و در تشخیص خاستگاه تورمالین از شکل، انکلوزیون‌ها، رنگ و خواص دیگر آن استفاده کرده است [۲۹]. کانی تورمالین در زیر میکروسکوپ دوچشمی به رنگ‌های سیاه تا سبز تیره، آبی، سبزروشن و صورتی دیده می‌شود که این رنگ‌ها براساس بررسی‌های کرینین [۲۸] شواهدی از تورمالین‌های حاصل از پگماتیت‌های لیتیوم‌دار است.

باریت

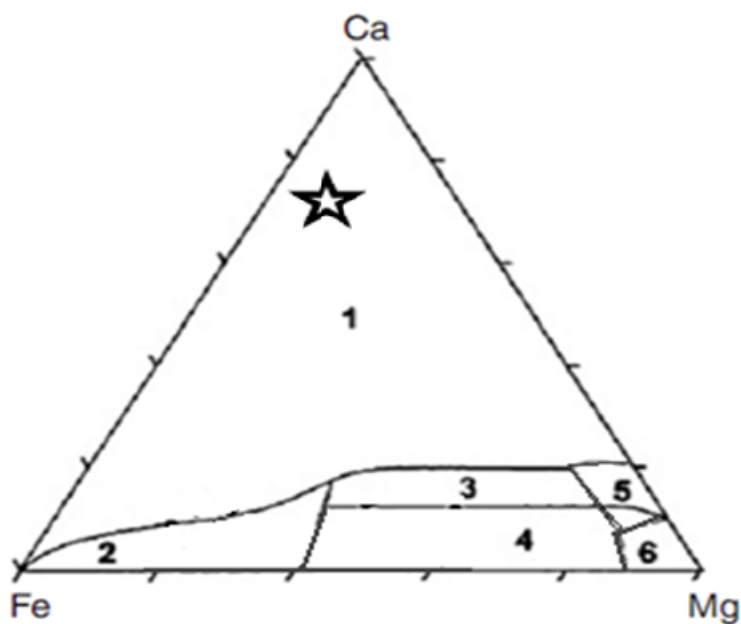
تصویر SEM و آنالیز EDS باریت (BaSO_4) در نمونه‌های مورد بررسی، در شکل ۱۳ رایه شده است. درصد باریت در نمونه‌های مورد بررسی، حدود ۳٪ است. در واقع شکل‌های پیدایش باریت به صورت رگه‌ای و رسوبی آتشفشاری بوده و یکی از کانی‌های معمول در رگه‌های میانی گرمابی با دمای پایین تشکیل شده، و معمولاً همراه کوارتز و کلسیت ظاهر می‌شود. سنگ‌های با خاستگاه فلزیک معمولاً دارای مقادیر بالایی از Ba نسبت به سنگ‌های با خاستگاه مافیک هستند [۱۷]. بنابراین حضور این کانی در رسوب‌ها می‌تواند بر خاستگاه فلزیکی آن‌ها دلالت داشته باشد.

تورمالین

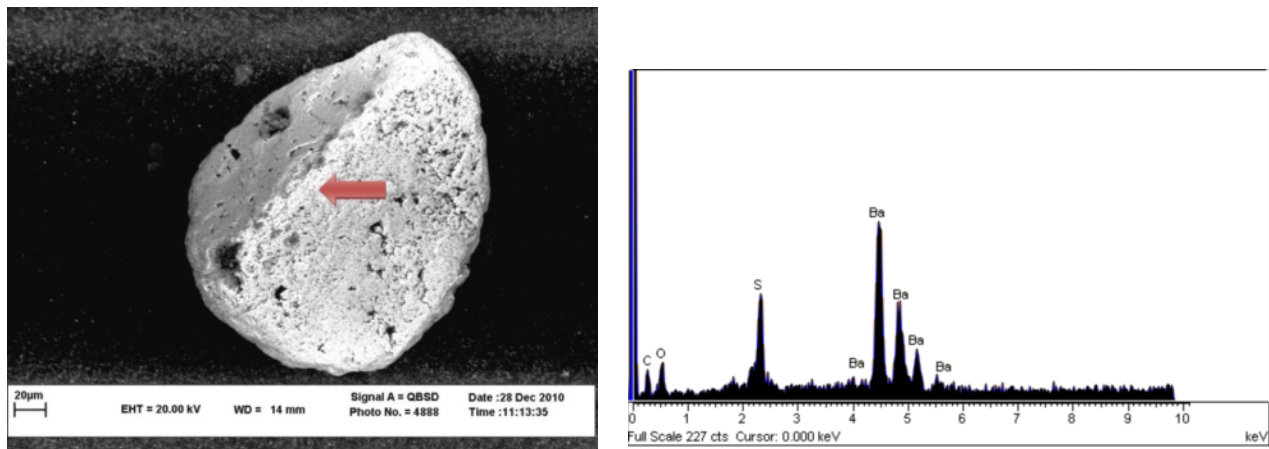
تورمالین از کانی‌های عمومی رسوب‌های تخریبی بوده و انواع مختلف آن که بستگی به خاستگاه اولیه‌ی کانی دارد، در سنگ‌های رسوبی قابل مشاهده است. خاستگاه اصلی تورمالین سنگ‌های اسیدی است. تورمالین طی فرآیندهای هوازدگی و دیاژنر پایدار بوده [۸]، بنابراین ژئوشیمی تورمالین برای آنالیزهای تعیین خاستگاه کاربرد دارد. تورمالین دارای ترکیب پیچیده‌ای از بوروسیلیکات‌های است که از لحاظ تغییرات ترکیب شیمیائی قابل توجه است. تصویر SEM و آنالیز EDS از یک نمونه کانی تورمالین بررسی شده در شکل ۱۱ نشان داده شده است. فرمول کلی این کانی $[\text{XY}_3(\text{T}_6\text{O}_{18})(\text{BO}_3)_3\text{V}_3\text{W}]$ است [۲۶]. جایگاه X ممکن است با عناصر Na, Ca, K شود یا خالی بماند و به جای Y عناصر Li^{1+} , Mg^{2+} , Fe^{2+} , Mn^{2+} , Al^{3+} , Cr^{3+} , V^{3+} , Fe^{3+} , Ti^{4+} نیز عنصر Si و در مواردی Al قرار گیرد. همچنین به جای V عناصر O^{2-} , OH^{1-} , O^{2-} , F^{1-} قرار می‌گیرند. از ترکیب‌های مختلف تورمالین برای تشخیص خاستگاه آن استفاده می‌شود. در واقع با استفاده از یک نمودار سه مؤلفه‌ای می‌توان تورمالین‌های حاصل از انواع سنگ‌ها را مشخص کرد [۲۷]. پرستون و همکاران (۲۰۰۲) برای ترکیب شیمیایی تورمالین، با توجه به عناصر Mg و Ca, Fe و شش ناحیه خاستگاه مختلف معرفی کرده‌اند که می‌تواند به عنوان خاستگاه تورمالین در نظر گرفته شود [۲۸] (شکل ۱۲). آنالیز EDS کانی تورمالین در نمونه‌های مورد بررسی با استفاده از رده‌بندی



شکل ۱۱ تصویر SEM و EDS تورمالین در رسوب‌های ساحلی و فلات قاره دریای عمان ناحیه‌ی چابهار تا جاسک.



شکل ۱۲ تشخیص خاستگاه تورمالین براساس نمودار مثلثی پرستون و همکاران (۲۰۰۲) [۲۸]، ستاره موقعیت تورمالین‌های ناحیه‌ی مورد بررسی را نشان می‌دهد. (ناحیه‌ی ۱، گرانیتوئیدها، پگماتیتها و اپلیت‌های غنی از Li. ناحیه‌ی ۲، گرانیتوئیدها، پگماتیتها و اپلیت‌های فقیر از Li. ناحیه‌ی ۳، متاپسامیت، متاپلیت‌ها و کلسی سیلیکات‌های غنی از Ca. ناحیه‌ی ۴، متاپسامیت، متاپلیت‌ها و سنگ‌های تورمالین کوارتزی فقیر از Ca. ناحیه‌ی ۵، متاکربنات‌ها و ناحیه‌ی ۶، متاپیروکسینیت‌ها).



شکل ۱۳ تصویر SEM و آنالیز EDS باریت در رسوب‌های ساحلی و فلات قاره دریای عمان ناحیه‌ی چابهار تا جاسک.

با درجه پایین شامل اپیدوت، کلینوزوئیزیت، زوئیزیت، الانیت، لاؤسونیت، کلریتوئید، پامپلینیت، پرهنیت، پیه مونتیت و کارفولیت، حاصل شده‌اند^(۳) کانی‌هایی که در درجه‌ی دگرگونی بالا تشکیل شده و شامل: استارولیت، آندالوزیت، کیانیت، و سیلیمانیت هستند. همچنین می‌توان به آمفیبول‌ها (Hb)، پیروکسن‌ها (CPX, OPX)، الیوین و اسپینل (OS)

بحث

با توجه به خاستگاه مختلف کانی‌های سنگین، آن‌ها را می‌توان از نظر مناطق پتروژنتیکی به سه دسته تقسیم کرد: ۱) کانی‌های با پایداری بالا از قبیل زیرکن، تورمالین، روتیل، آپاتیت، و باریت که از رسوب‌ها و سنگ‌های آذرین فلزیک حاصل شده‌اند، ۲) کانی‌هایی که بیشتر از سنگ‌های دگرگونی

مشابه باشند، نشان دهنده‌ی این است که خاستگاه رسوب‌ها، از مناطق مجاور و مشرف به ساحل بوده است [۶]. با توجه به ویژگی‌های زمین‌ساختی فعال و وجود زون فرورانش در منطقه-ی مکران سنگ‌های آتشفشاری حاصل از آن می‌تواند تاثیر زیادی بر توزیع کانی‌های سنگین داشته باشد.

بطور کلی چهار دسته از سنگ‌های آتشفشاری وابسته به مناطق فرورانش عبارتند از [۳۷] : الف) سری تولئیتی کوارتز دار که در کمان‌های جوان و در حوضه‌های پشت کمانی مشاهده شده و شامل بازالت تولئیتی، سنگ‌های حدواسط و اسیدی است، ب) دسته‌ی آهکی- قلیایی یا دسته‌ی هیپرستن که مانند دسته‌ی تولئیتی غنی از سیلیس است و درصد Al_2O_3 آن بیش از ۱۷٪ بوده و در مناطق فرورانش دیده می‌شود، ج) دسته‌ی قلیایی فقیر از سیلیس، عناصر قلیایی، عناصر نادر خاکی، مواد فرار، ارتوپیروکسن و پیژونیت و حاوی الیوین پایدار و دارای فلدسپاتوئید (نفلین - آنالیسم، لوسيت) بوده و در داخل صفحات قاره‌ای و اقیانوسی دیده می‌شوند، د) دسته‌ی شوشونیتی داخلی که در سلسله جبال آند اهمیت زیادی داردند و دارای پتاسیم زیاد و نسبت $\text{K}_2\text{O}/\text{Na}_2\text{O} = 1$ بوده و در مناطق در حال فرورانش فراوان است ولی مانند گروه آهکی- قلیایی نمی‌تواند شاخص خوبی برای این مناطق باشد، زیرا دسته‌ی شوشونیتی در صفحات قاره‌ای نیز دیده می‌شود.

وجود دسته سنگ‌های وابسته با ماجماتیسم و ولکانیسم حاصل از فرورانش زون مکران در نقشه‌های زمین‌شناسی تفتان و بزمان در شمال منطقه مورد بررسی گزارش شده است [۳۸]، بنابراین می‌تواند به عنوان سنگ خاستگاه رسوب‌های مورد بررسی در نظر گرفته شود. بررسی کانی‌های سنگین در رسوب‌های مورد بررسی نشان دهنده این است که بیشتر این کانی‌ها از سنگ‌های آذرین فلزیک حاصل شده‌اند. با توجه به داده‌های وابسته به کانی‌های سنگین و سری سنگ‌های موجود در منطقه فرورانش زون مکران (نقشه‌ی زمین‌شناسی تفتان و بزمان) می‌توان سری تولئیتی کوارتز دار را که در کمان‌های

اشاره کرد که به مقدار فراوان از سنگ خاستگاه آذرین اولترامافیک، مافیک و حدواسط حاصل می‌شوند [۳۰]. گرچه کانی‌های سنگین معمولاً به صورت مجموعه‌های باهم یافت می‌شوند ولی هر کانی از نظر مکان ژئودینامیکی ممکن است متفاوت باشد [۳۱,۳۲]. به عنوان مثال وجود هورنبلند نشان دهنده‌ی پی‌سنگ خاستگاه در طول شکاف‌ها و صفحه‌های کراتونی است. از طرفی افزایش نسبت هورنبلند سبز دلیلی بر فرسایش کمان‌های بازی درون هسته باتولیتی است [۳۱,۳۲]. خاستگاه اوروزنیکی رسوب‌ها با ماسه‌های حاوی خرددهای کوارتزی، آمفیبول، اپیدوت و گارنت مشخص می‌شود. کانی‌های سنگین ممکن است چندین بار در مرحله‌ی چرخه‌ی رسوبی قرار گیرند. کانی‌هایی با پایداری ضعیف به شکل دور بوده و گوشه‌های آن‌ها کمتر زاویه دارند.

در دریای عمان فراوانی کانی‌های سنگین که نشان دهنده‌ی برافزایی و فرسایش پوسته اقیانوسی است بوسیله کانی‌های مافیک و اولترامافیک از قبیل هورنبلند سبز حاصل از بالآمدگی و فرسایش افیولیت‌ها مشخص می‌شود. رخمنون‌های افیولیتی نیز در منطقه‌ی مکران گزارش شده است [۳۴]. بررسی کمربند‌های افیولیتی در شمال شرقی دریای عمان نشان دهنده‌ی کمربند رورانده‌ای است که در نتیجه فرورانش صفحه‌ی عمان به زیر زون مکران ایجاد شده است [۳۳]. هورنبلند از سنگ‌های گابرویی با بلورهای ناپایدار در مکان‌هایی که فرورانش زیاد باشد حاصل می‌شود [۳۵]. بنابراین وجود هورنبلند در نمونه‌های مورد بررسی می‌تواند نشان دهنده‌ی بالآمدگی زمین‌ساختی و ایجاد افیولیت در منطقه باشد [۳۶]. از طرفی فراوانی بالای زیرکن، کوارتز، آپاتیت، تورمالین و گارنت نوع A در نمونه‌های مورد بررسی مشخص کننده‌ی این است که کانی‌های سنگین از رسوب‌ها و سنگ‌های آذرین فلزیک حاصل شده‌اند. نوع کانی‌های سنگین در نمونه‌های حاصل از مغزه و رسوبات بالای پهنه جزو مردمی مشابه است. زمانی که نمونه‌ها از لحاظ نوع کانی‌های سنگین کم و بیش

آزمایشگاه، و همچنین معاونت پژوهشی دانشکده بهدلیل پرداخت هزینه‌های استفاده از میکروسکوپ الکترونی و آنالیز EDS داریم، و از خانم مهندس هاشمیان نیز به خاطر همکاری موثر در تهیه تصاویر SEM و آنالیز EDS قدردانی می‌شود.

مراجع

- [1] Pettijohn F.J., Potter P.E., Siever R., "Sand and Sandstone", New York: Springer-Verlag, (1987).
- [2] Morton A.C., Hallsworth C.R., Chalton B., "Garnet compositions in Scottish and Norwegian basement terrains: a framework for interpretation of North Sea sandstone provenance", Marine and Petroleum Geology 21 (2004), 393–410.
- [3] Mange Maria A., Heinz F. W. Maurer, "Heavy Minerals in Colour", London: Chapman and Hall, (1992).
- [4] افشار الف.، "چاپهار و دریای پارس"، انتشارات صدیقی، چاپ اول، (۱۳۷۲) ص ۳۰ - ۱۰۵ .
- [5] Folk R.L., "Petrology of sedimentary rocks", Hemphill, Austin, Texas (1974), 159 pp.
- [6] Chris P., Phillips R., "Rocks, Minerals, and Fossils of the world", Boston: Little, Brown and Company (1990).
- [7] Morton A.C., Hallsworth C.R., "Processes controlling the composition of heavy mineral assemblages in sandstones", Sedimentary Geology 124 (1999), 3–29.
- [8] Morton A.C., Hallsworth C.R., "Stability of detrital heavy minerals during burial diagenesis", In: Mange, M.A., Wright, D.T. (Eds.), Heavy Minerals in Use. Developments in Sedimentology (this volume) (2007).
- [9] Sabeen H.M., Ramanujam N., Morton A.C., "The provenance of garnet: constraints provided by studies of coastal sediments from Southern India", Sedimentary Geology 152 (2002), 279–287.
- [10] Green T.H., Ringwood A.E., "Origin of garnet phenocrysts in calc-alkaline rocks", Contributions to Mineralogy and Petrology 16 (1968), 59–67.

جوان (جزایر قوسی قاره‌ای) و در حوضه‌های پشت کمانی وجود داشته و در بردارنده سنگ‌های اسیدی و حد بواسطه است، به عنوان خاستگاه اصلی رسوب‌های مورد بررسی فلات قاره دریای عمان در نظر گرفت. از طرفی وجود آمفیبولهای از قبیل هورنبلند و کومنگتونیت به وجود سنگ‌های افیولیتی به عنوان خاستگاه فرعی و با اهمیت کمتر در تشکیل رسوب‌ها اشاره می‌کند.

جمع‌بندی

آنالیز کانی‌های سنگین روشنی مناسب برای بررسی خاستگاه ماسه سنگ‌ها است. کانی‌های سنگین در ناحیه مورد بررسی شامل زیرکن، گارنت، آپاتیت، هورنبلند سبز و تورمالین با بیشترین درصد فراوانی و روتیل، باریت و ایلمینیت و مگنتیت با کمترین فراوانی دیده می‌شوند. وجود هورنبلند سبز در نمونه‌ها نشان دهنده بالاًمدگی زمین‌ساخت و فرسایش رسوب‌هاست. با افزایش هورنبلند، کانی‌های آهن‌دار (مگنتیت و ایلمینیت)، بیشتر شده بنابراین بالاًمدگی و فرسایش افیولیت‌ها، دلالت بر این دارد که کانی‌های مافیک و اولترامافیک (آمفیبولهای) از آن‌ها حاصل شده‌اند. کانی‌های سنگین شناسایی شده‌ی دیگر بیشتر از رسوب‌ها و سنگ‌های آذرین فلزیک حاصل شده‌اند. از آنجا که نوع کانی‌های سنگین در تمام نمونه‌ها (نمونه‌های انتخاب شده از مغزه و رسوب‌های ساحلی) شبیه یکدیگرند نشان می‌دهد که سنگ خاستگاه کانی‌ها به ساحل نزدیک است.

بنابراین با بررسی کانی‌های سنگین و با توجه به سنگ‌های آتشفشاری مناطق فروانش، می‌توان آن دسته از سنگ‌های سری تولئیتی کوارتزدار را که در قوس‌های جوان و در حوضه‌های پشت قوسی وجود دارند به عنوان خاستگاه رسوب‌های مورد بررسی در فلات قاره دریای عمان در نظر گرفت.

قدرتانی

بدین‌وسیله مراتب تشکر از گروه زمین‌شناسی دانشگاه فردوسی مشهد بهدلیل در اختیار قرار دادن امکانات و استفاده از

- [21] Zack T., Von Eynatten H., Kronz A., "Rutile geochemistry and its potential use in quantitative provenance studies", *Sedimentary Geology* 171 (2004), 37–58.
- [22] Zack T., Kronz A., Foley S., Rivers T., "Trace element abundances in rutiles from eclogites and associated garnet mica schists", *Chemical Geology* 184 (2002), 97–122.
- [23] McConnell D., "Apatite—its crystal chemistry, mineralogy, utilization and geologic and biologic occurrences", Springer-Verlag, New York (1973), 111 pp.
- [24] Chang L.L.Y., Howie R.A., Zussman J., "Rock-forming minerals, volume 5B: Nonsilicates: Sulphates, Carbonates, Phosphates and Halides, 2nd ed", Geological Society, London (1998), 383pp.
- [25] Leake B.E., "Nomenclature of amphiboles", *Mineralogical Magazine* 42 (1978), 533–563.
- [26] Hawthorne F.C., Henry D.J., "Classification of the minerals of the tourmaline group", *European Journal of Mineralogy* 11 (1999), 201–215.
- [27] Henry D.J., Guidotti C.V., "Tourmaline as a petrogenetic indicator mineral: an example from the staurolite-grade metapelites of NW Maine", *American Mineralogist* 70 (1985), 1–15.
- [28] Preston J., Hartley A., Mange-Rajetzky M., Hole M., May G., Buck S., Vaughan L., "The provenance of Triassic continental sandstones from the Beryl Field, northern North Sea: mineralogical, geochemical, and sedimentological constraints", *Journal of Sedimentary Research* 72 (2002), 18–29.
- [29] Krynine P.D., "The tourmaline group in sediments", *Journal of Geology* 54 (1946), 65–87.
- [30] Garzanti E., Ando S., "Heavy mineral concentration in modern sands: implications for provenance interpretation", In: Mange, M.A., Wright, D.T. (Eds.), *Heavy Minerals in Use. Developments in Sedimentology*, 1283 p. (2007).
- [31] Dickinson W.R., "Composition of sandstones in Circum-Pacific subduction complexes and fore-arc basins", *American Association of Petroleum Geologists Bulletin* 66 (1982), 121–137.
- [11] Fitton J.G., "The genetic significance of almandine-pyrope phenocrysts in the calcalkaline Borrowdale Volcanic Group, northern England", *Contributions to Mineralogy and Petrology* 36 (1972), 231–248.
- [12] Asiedu D.K., Suzuki S., Shibata T., "Provenance of sandstones from the Wakino Subgroup of the Lower Cretaceous Kanmon Group, northern Kyushu, Japan", *The Island Arc* 9 (2000a), 128–144.
- [13] Asiedu D.K., Suzuki S., Shibata T., "Provenance of sandstones from the Lower Cretaceous Sasayama Group, Inner Zone of Southwest Japan", *Sedimentary Geology* 131 (2000b), 9–24.
- [14] Basu B., Molinaroli E., "Reliability and application of detrital opaque Fe-Ti oxide minerals in provenance determination", In: Morton, A.C., Todd, S.P., Haughton, P.D.W. (Eds.), *Developments in Sedimentary Provenance Studies*, vol. 57. Geological Society of London Special Publication (1991), pp. 55–65.
- [15] Schneiderman J.S., "Detrital opaque oxides as provenance indicators in River Nile sediments", *Journal Sabeen of Sedimentary Research* 65 (1995), 668–674.
- [16] Schroeder P.A., Le Govan J.F., Roden M.F., "Weathering of ilmenite from granite and chlorite schist in the Georgia Piedmont", *American Mineralogist* 87 (2002), 1616–1625.
- [17] Maria A. Mange, David T., "Wright, Heavy minerals in use", Universityn of California, Davis, CA USA, University of Leicester UK, (2007).
- .۹۰ – ۷۷ [۱۸] فرقانی ع.، "کانی شناسی"، جلد اول، (۱۳۷۶)
- [19] Belousova E.A., Griffin W.L., O'Reilly S.Y., Fisher N.I., "Igneous zircon: trace element composition as an indicator of source rock type", *Contributions to Mineralogy and Petrology* 143 (2002a), 602–622.
- [20] Belousova E.A., Griffin W.L., O'Reilly S.Y., Fisher N.I., "Apatite as an indicator mineral for mineral exploration: trace-element compositions and their relationship to host rock type", *Journal of Geochemical Exploration* 76 (2002b), 45–69.

- [35] Lachize M., Lorand J.P., Juteau T., "Calc-alkaline differentiation trend in the plutonic sequence of the Wadi Haymiliyah section, Haylayn massif, Semail ophiolite, Oman", *Lithos* 38 (1996), 207–232.
- [36] Garzanti E., Canclini S., Moretti Foggia F., Petrella N., "Unraveling magmatic and orogenic provenances in modern sands: the back-arc side of the Apennine thrust-belt (Italy)", *Journal of Sedimentary Research* 72 (2002), 2–17.
- [۳۷] علیمردانی م.، "پدیده‌های درونی زمین و پیوند آنها با زمین‌شناسی ساختمانی صفحه‌ای"، چاپ اول، (۱۳۷۸) ص ۲۴۷-۲۸۹-
- [۳۸] سهندی م.ر.، پاداشی م.، "نقشه زمین‌شناسی بزمان و تفتان"، مقیاس ۱:۱۰۰۰۰، سازمان زمین‌شناسی کشور (۲۰۰۵).
- [32] Dickinson W.R., "Plate tectonics and sedimentation", In: Dickinson, W.R. (Ed.), *Tectonics and Sedimentation*, Society of Economic Paleontologists and Mineralogists. Special Publication 22 (1974), 1–27.
- [33] Searle M.P., Stevens R.K., "Obduction processes in ancient, modern and future ophiolites", In: Gass, I.G., Lippard, S.J., Shelton, A.W. (Eds.), *Ophiolites and Oceanic Lithosphere*. In: Geological Society of London Special Publication, vol. 13 (1984), pp. 303–319.
- [34] Ravaut P., Bayer R., Hassani R., Rousset D., Al Yahya'ey A., "Structure and evolution of the northern Oman margin: gravity and seismic constraints over the Zagros-Makran-Oman collision zone", *Tectonophysics* 279 (1997), 253–280.